

CFD Weekend

# **Расширение банка моделей турбулентности кода VP2/3.**

*28-29 ноября в Институте прикладной математики им.  
М.В.Келдыша РАН*

- 1. Спаларта-Аллмареса с коррекцией источникового члена

$$\frac{\partial}{\partial t}(\rho v) + \frac{\partial}{\partial x_i}(\rho v u_i) = G_v + \frac{1}{\sigma_v} \left\{ \frac{\partial}{\partial x_j} \left[ (\mu + \rho v) \frac{\partial v}{\partial x_j} \right] + C_{b2} \rho \left( \frac{\partial v}{\partial x_j} \right)^2 \right\} - Y;$$

- 2. Realizable k-ε модель турбулентности

$$\begin{aligned} \frac{\partial}{\partial t}(\rho k) + \frac{\partial}{\partial x_i}(\rho k u_i) &= \frac{\partial}{\partial x_j} \left[ \left( \mu + \frac{\mu_t}{\sigma_k} \right) \frac{\partial k}{\partial x_j} \right] + G_k - \rho \varepsilon; \\ \frac{\partial}{\partial t}(\rho \varepsilon) + \frac{\partial}{\partial x_i}(\rho \varepsilon u_i) &= \frac{\partial}{\partial x_j} \left[ \left( \mu + \frac{\mu_t}{\sigma_\varepsilon} \right) \frac{\partial \varepsilon}{\partial x_j} \right] + \rho C_1 G_\varepsilon - \rho C_2 \frac{\varepsilon^2}{k + \sqrt{\nu \varepsilon}} \end{aligned}$$

- 3. Модель турбулентности SST-Ментера

$$\begin{aligned} \frac{\partial}{\partial t}(\rho k) + \frac{\partial}{\partial x_j}(\rho \tilde{u}_j k) &= \frac{\partial}{\partial x_j} \left[ \left( \mu + \frac{\mu_t}{\sigma_k} \right) \frac{\partial k}{\partial x_j} \right] + P_k + G_b - \beta^* \rho \omega k; \quad \frac{\partial}{\partial t}(\rho \omega) + \frac{\partial}{\partial x_j}(\rho \tilde{u}_j \omega) = \frac{\partial}{\partial x_j} \left[ \left( \mu + \frac{\mu_t}{\sigma_\omega} \right) \frac{\partial \omega}{\partial x_j} \right] + \frac{\alpha}{\nu_t} P_k - \beta \rho \omega^2 \\ &\quad + (1 - F_1) 2 \rho \sigma_{\omega^2} \frac{1}{\omega} \frac{\partial k}{\partial x_j} \frac{\partial \omega}{\partial x_j} \end{aligned}$$

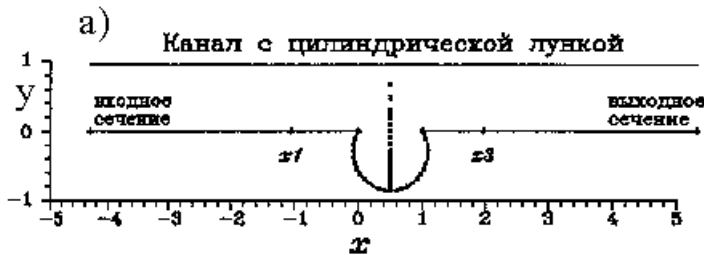
- 4. Transition SST-Ментера с четырьмя уравнениями.

$$\frac{\partial(\rho \gamma)}{\partial t} + \frac{\partial(\rho U_j \gamma)}{\partial x_j} = P_{\gamma 1} - E_{\gamma 1} + P_{\gamma 2} - E_{\gamma 2} + \frac{\partial}{\partial x_j} \left[ \left( \mu + \frac{\mu_t}{\sigma_\gamma} \right) \frac{\partial \gamma}{\partial x_j} \right]$$

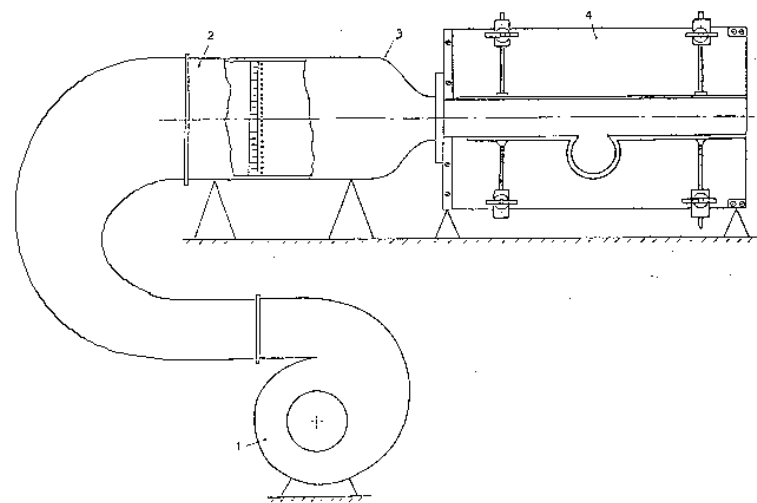
$$\frac{\partial(\rho \widetilde{R} e_{\theta t})}{\partial t} + \frac{\partial(\rho U_j \widetilde{R} e_{\theta t})}{\partial x_j} = P_{\theta t} + \frac{\partial}{\partial x_j} \left[ \sigma_{\theta t} \left( \mu + \frac{\mu_t}{\sigma_\gamma} \right) \frac{\partial \widetilde{R} e_{\theta t}}{\partial x_j} \right]$$

# Тестовая задача: течение в плоском канале с круговой каверной на стенке

## Схема течения



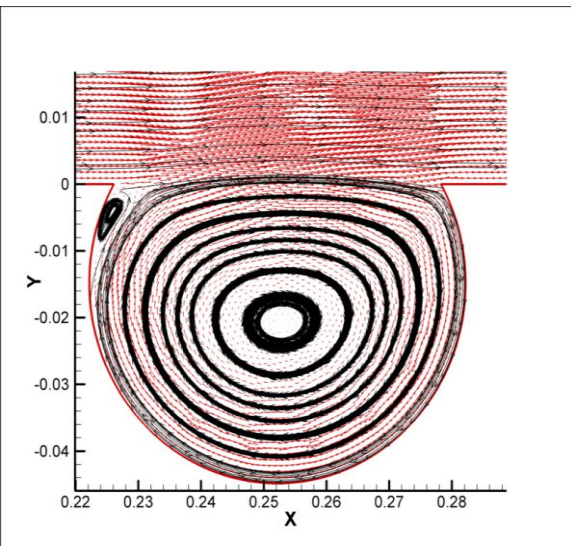
Эксперимент НИИ Механики МГУ



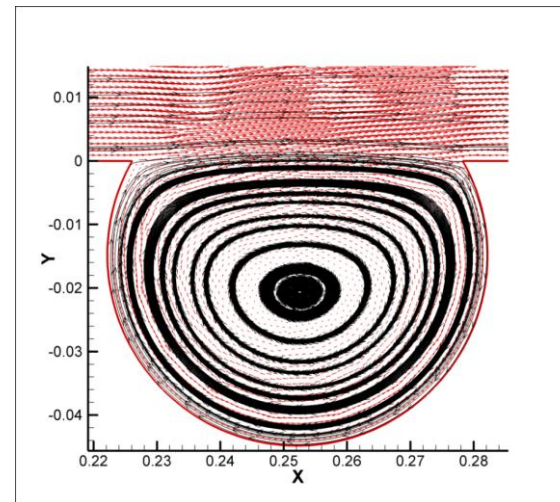
Численное моделирование проводилась при скорости набегающего потока  $U=36$  м/с и числе Рейнольдса  $Re = 1,34 \cdot 10^5$ .

## Поле векторов скорости

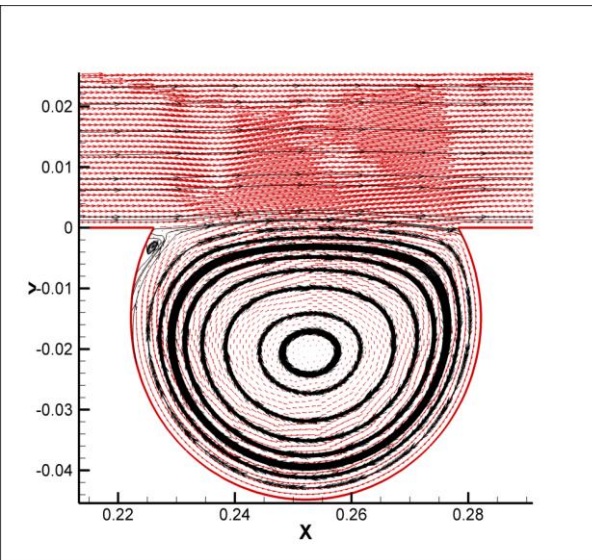
1



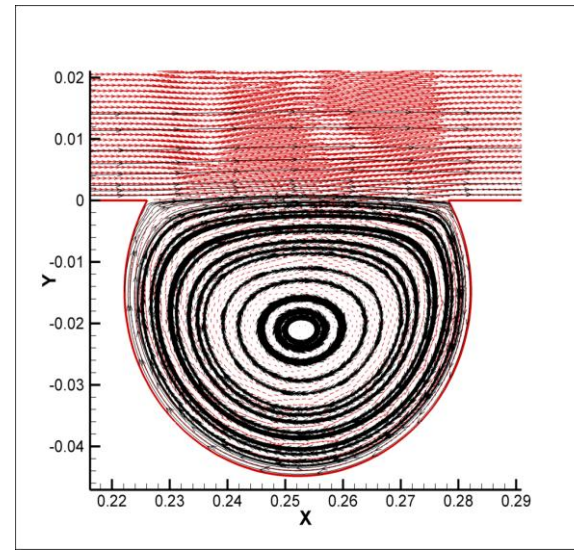
2



3

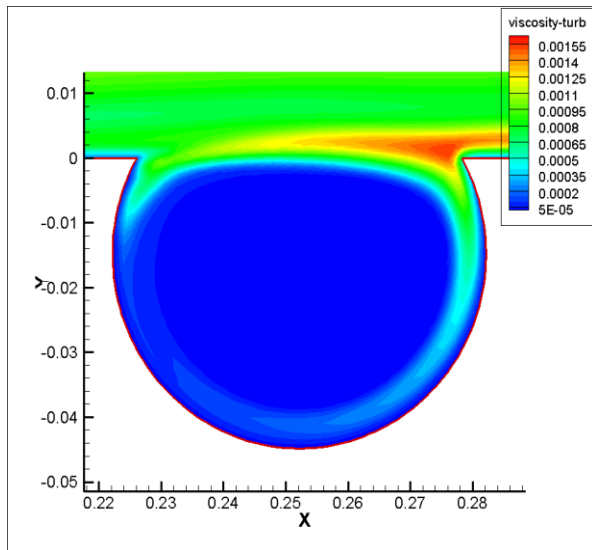


4

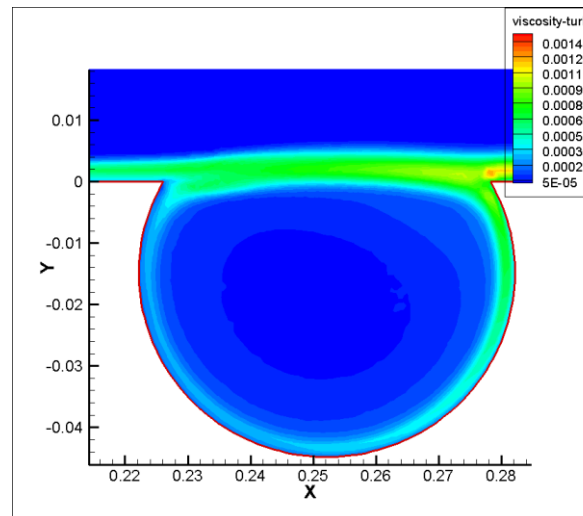


# Поле вихревой вязкости

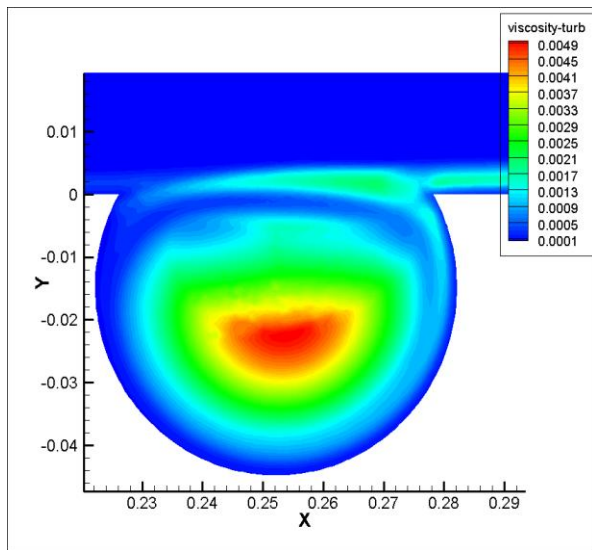
1



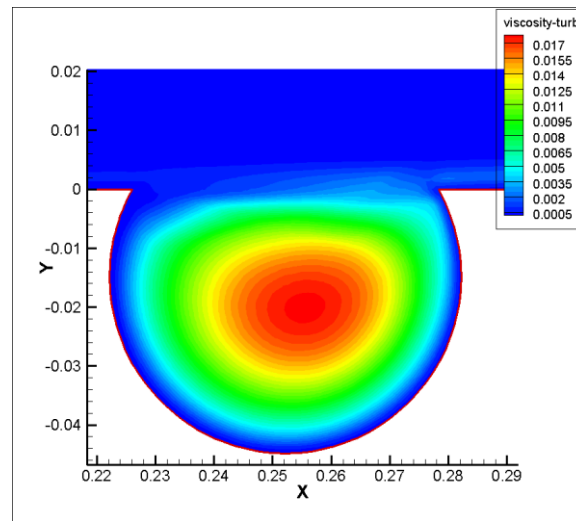
2



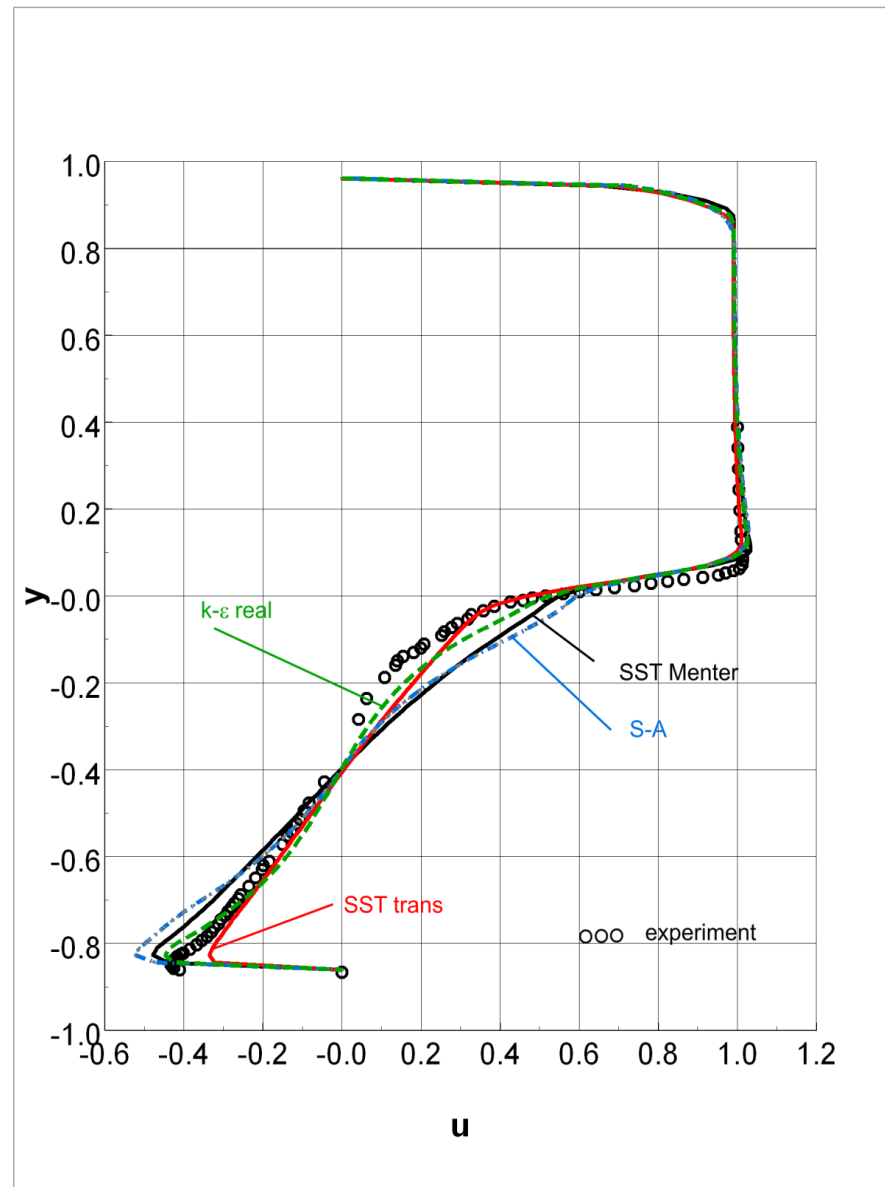
3



4

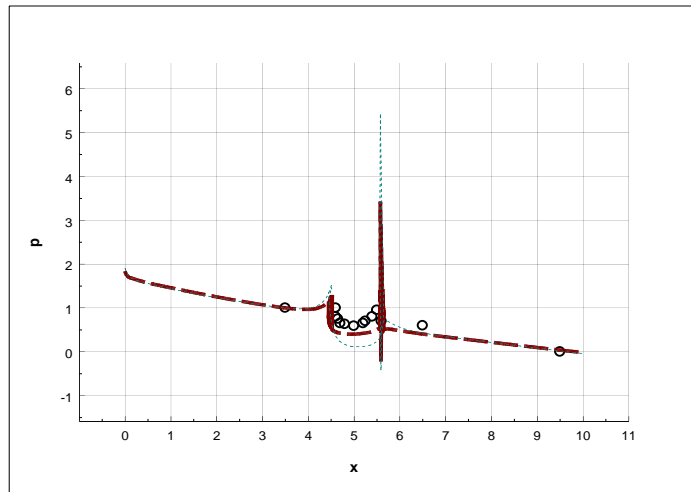


# Сравнение горизонтальной составляющей осредненной скорости в срединном сечении каверны с экспериментальными данными

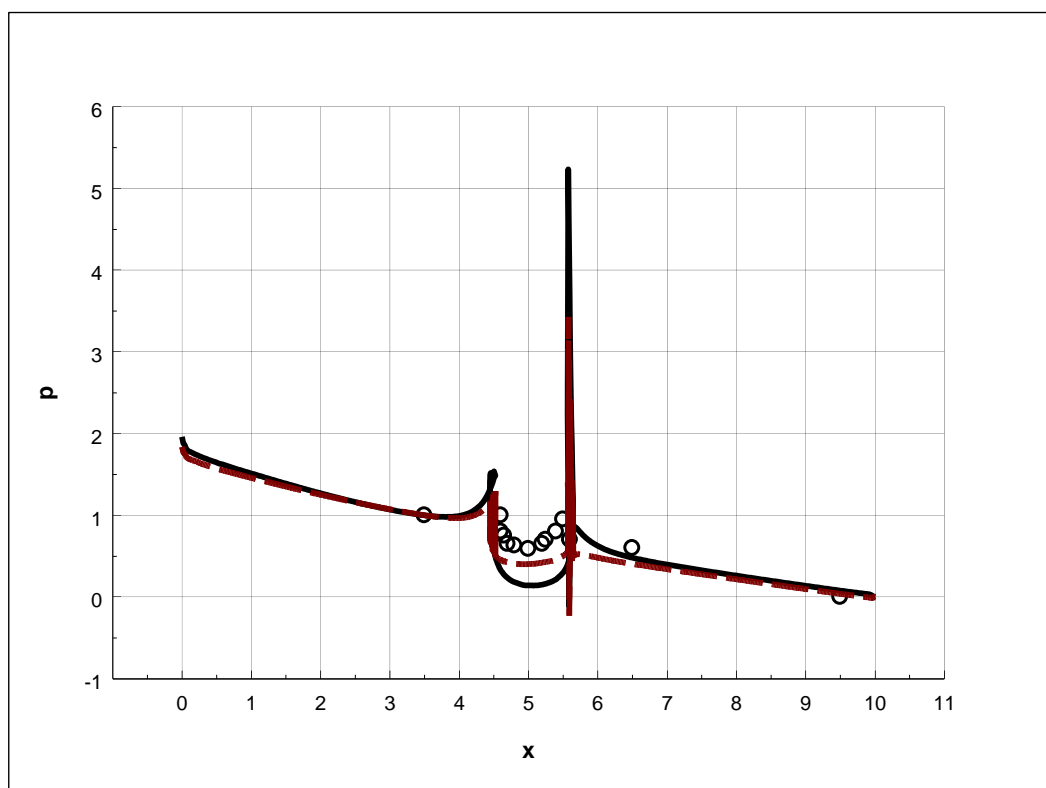


# Сравнение распределение статического давления по стенке канала с экспериментальными данными

1,4



3,4



2

